

## مقایسه توابع هدف مختلف در تخمین فراسنجهای بهینه ماسکینگام خطی و غیر خطی

شاراوه محمودی نیا<sup>۱</sup>، میترا جوان<sup>۲\*</sup> و افشین اقبال زاده<sup>۲</sup>

تاریخ دریافت: ۱۳۹۱/۹/۲۱ تاریخ پذیرش: ۱۳۹۲/۱۱/۱۱

### چکیده

پیش‌بینی و مهارکردن سیلاب یکی از مسائل مهم و اساسی در مدیریت سامانه‌های منابع آب به منظور بهره‌برداری بهینه از توان‌های موجود می‌باشد. در علم آب نهرهای باز و مهندسی رودخانه مطالعه و تحلیل این گونه مسائل با استفاده از روش‌های روندیابی سیلاب انجام می‌گیرد. یکی از بهترین و کاربردی ترین روش‌ها در روندیابی آبشناصی رودخانه‌ها، "شبیه ماسکینگام" است. برای تعیین و تخمین فراسنجهای ماسکینگام ( $k, x, m$ ) روش‌های تجربی مختلفی برمبنای آزمون و خطا، روش حداقل مربعات و... رائه شده است. یکی از روش‌های تخمین ضرائب ماسکینگام الگوریتم وراثتی می‌باشد. مقایسه نتایج روش‌های تجربی با روش الگوریتم وراثتی (GA) نشان می‌دهد که روش الگوریتم وراثتی روشنی مناسب و بسیار سریع برای تخمین ضرائب ماسکینگام است. نکته‌ای که باید در مسائل بهینه‌سازی مورد توجه قرار گیرد تعیین تابع هدف با توجه به طبیعت مسئله است که در تعیین عملکرد الگوریتم نقش ویژه‌ای دارد. در این پژوهش برای شبیه خطی و غیر خطی ماسکینگام با بهینه‌سازی چند تابع هدف متفاوت با استفاده از الگوریتم وراثتی و مقایسه نتایج حاصل از آنها، تأثیرات تابع هدف در پیش‌بینی مقادیر فراسنجهای ماسکینگام و بدئی خروجی محاسباتی بررسی گردیده است. با توجه به آب‌نگارهای بدئی خروجی محاسبه شده در مقایسه با آب‌نگارهای بدئی خروجی مشاهداتی می‌توان اذعان داشت که به کارگیری توابع هدف متفاوت و در شبیه ماسکینگام خطی منجر به تغییر نتایج و افزایش دقت محاسبات می‌گردد در حالی که تغییرات ناشی از استفاده توابع هدف متفاوت در نتایج شبیه ماسکینگام غیرخطی چشمگیر نمی‌باشد.

**واژه‌های کلیدی:** الگوریتم وراثتی، بهینه سازی، روندیابی، سیلاب، ماسکینگام

<sup>۱</sup>- دانشجوی کارشناسی ارشد مهندسی عمران، دانشگاه رازی

<sup>۲</sup>- استادیار گروه مهندسی عمران، دانشگاه رازی-پژوهشکده تحقیقات پیشرفته آب و فاضلاب، دانشگاه رازی

\* - نویسنده مسئول مقاله: javanmi@gmail.com

## مقدمه

در شبیه غیر خطی ماسکینگام فراسنج  $m$  شبیه را در تخمین رابطه‌ی غیر خطی بین ذخیره‌ی تجمعی و جریان تواناتر می‌کند. مسأله‌ی مهم در این معادلات تخمین قابل قبول سه فراسنج  $k$ ,  $x$  و  $m$  است.

در بسیاری از روش‌ها  $m=1$  (فرم خطی) در نظر گرفته می‌شود. با درنظر گرفتن فرم خطی و قرار دادن معادله‌ی ۲ در معادله‌ی ۱ و مرتب کردن و حل نمودن آن برای  $O_{(t)}$ , رابطه‌ی روند یابی رودخانه به شکل زیر بدست می‌آید (وانگ چونگ و سینگ ۱۹۹۲):

$$O_{(t+\Delta t)} = c_1 \tilde{I}_{(t)} + c_2 \tilde{I}_{(t+\Delta t)} + c_3 O_{(t)} \quad (3)$$

که در آن  $\tilde{I}_{(t)}$  و  $\tilde{I}_{(t+\Delta t)}$  بدھی ورودی مشاهداتی در زمان  $t$  و  $t + \Delta t$  و  $O_{(t)}$  بدھی خروجی محاسباتی در زمان  $t$  است، ضرایب رابطه (۳) به صورت زیر محاسبه می‌شوند (وانگ چونگ و سینگ ۱۹۹۲):

$$c_1 = \frac{kx + 0.5\Delta t}{k(1-x) + 0.5\Delta t} \quad (4)$$

$$c_2 = \frac{kx - 0.5\Delta t}{k(1-x) + 0.5\Delta t} \quad (5)$$

$$c_3 = \frac{k - kx - 0.5\Delta t}{k(1-x) + 0.5\Delta t} \quad (6)$$

روشهای مختلفی برای تخمین دو فراسنج  $k$  و  $x$  ارائه شده است. در اغلب موارد از سعی و خطای برای تخمین فراسنجهای فوق استفاده شده است که بسیار پیچیده و زمان بر می‌باشند. گیل (۱۹۷۸)، هگن (۱۹۸۴) و وو و همکاران (۱۹۸۵) روش حداقل مربعات را برای تعیین مقادیر فراسنجهای  $k$  و  $x$  بکار برده‌اند. روش بهینه‌سازی توابع هدف (LP) توسط استینفسون (۱۹۷۹) برای محاسبه ضرایب روندیابی ماسکینگام استفاده گردید.

تونگ (۱۹۸۵) روشی بر مبنای جستجوی مستقیم یا هوک و جیوز در ترکیب با وایازی خطی، شیب همزمان و روش دیوید-فلچر پاول را برای بهینه کردن این فراسنجهای به کار برد. جوابهای روش ترکیبی هوک و جیوز - دیوید-فلچر پاول با شیب همزمان بیانگر این مطلب بود که شبیه خطی محدودیتهای زیادی داشته و در هر مسأله با توجه به رفتار سامانه باید شبیه‌ی مناسب انتخاب شود.

وقوع سیلابهای ادواری و مخرب و تراکم زمانی مکانی آنها در برخی از حوزه‌های آبخیز کشور هر ساله خسارات فراوان مالی و جانی در پی دارد لذا با در نظر گرفتن این نکته می‌توان بیان نمود که پیش‌بینی چگونگی طغیان و فروکش سیل یا صعود و نزول آبنگار در محل معینی از آبراهه از اهمیت ویژه‌ای برخوردار است. مطالعه و تحلیل این گونه مسائل با استفاده از روش‌های روندیابی سیلاب انجام می‌شود. روش‌های روندیابی سیلاب را می‌توان به دو دسته روندیابی آبی و روندیابی آبشناسی تقسیم نمود. اگر جریان آب فقط به صورت تابعی از زمان در محلی مشخص باشد روندیابی آبشناسی یا متمرکز نامیده می‌شود. در این روش معادله پیوستگی جریان، آبنگار طبیعی و واحد، بدھ و سطح تراز سیلاب بیشینه می‌باشد. اگر روندیابی جریان به صورت تابعی از زمان و مکان در طول سامانه باشد این روش را روندیابی آبی یا توزیعی می‌نامند. در این روش از معادله پیوستگی جریان و معادله حرکت استفاده شده و اساس آن بر تئوری جریان‌های غیر دائمی استوار است (باری و باجرچاریا ۱۹۹۷). اگرچه دقت روش‌های آبشناسی در حد روش‌های آبی نیست اما دارای محاسبات بسیار ساده و سریع بوده و در مهندسی آب کاربرد وسیع با اطمینان قابل قبولی دارند (چونگ ۱۹۶۹).

یکی از بهترین و کاربردی ترین روش‌ها در روندیابی آبشناسی رودخانه‌ها، "شبیه ماسکینگام" است (شاو ۱۹۹۴). این روش در سال ۱۹۳۸ توسط مک کارتی ارائه گردید و اولین بار توسط گروه مهندسان ارش آمریکا برای مطالعه مهارکردن سیلاب رودخانه اوهایو به کار گرفته شد (مک کارتی ۱۹۳۸).

در شبیه ماسکینگام از دو معادله پیوستگی و ذخیره‌ی غیر خطی به طور مشترک استفاده می‌شود (گیل و همکاران ۱۹۷۸):

$$\frac{dS_{(t)}}{dt} = I_{(t)} - O_{(t)} \quad (1)$$

$$S_{(t)} = k(x I_{(t)} + (1-x) O_{(t)})^m \quad (2)$$

در معادله‌ی فوق،  $k$  ضریب تناسب به عنوان زمان حرکت موج در طول رودخانه  $x$  ضریب وزنی،  $I_{(t)}$  بدھی ورودی،  $O_{(t)}$  بدھی خروجی،  $S_{(t)}$  میزان ذخیره می‌باشد.

مبنای فرایند موزیک است به نتایج دقیق‌تری نسبت به الگوریتم و راثتی دست یافت. نتایج تحقیقات آنها در تخمین بدی بیشینه و گام زمانی بسیار بهتر از نتایج الگوریتم و راثتی بوده است.

چانگ و یانگ (۲۰۰۱) از شبکه‌ی عصبی مصنوعی و چوو (۲۰۰۹) از شبکه‌ی عصبی فازی برای محاسبه‌ی بدی خروجی استفاده نمودند. در شبکه‌ی عصبی فازی و شبکه‌ی عصبی مصنوعی بدی خروجی محاسبه شده و فراسنجه‌های ماسکینگام در لایه‌های پنهان شبکه تخمین زده می‌شوند.

قلعه‌نی و همکاران (۱۳۸۹) با به کارگیری الگوریتم نورد شبیه‌سازی شده در تخمین فراسنجه‌های شبیه روندیابی ماسکینگام غیر خطی و مقایسه نتایج حاصل از این روش با نتایج بدست آمده از الگوریتم و راثتی بیان داشتند که الگوریتم نورد شبیه‌سازی شده نتایج قابل قبولتری را نسبت به الگوریتم و راثتی ارائه می‌کند.

ظهیری و همکاران (۱۳۹۱) با به کارگیری روش الگوریتم و راثتی و نرمافزار HEC-RAS در روندیابی سیلاب در کانالها با مقاطع مرکب به این نتیجه دست یافتند که تخمین فراسنجه‌های ماسکینگام خطی با استفاده از الگوریتم و راثتی و شبیه‌سازی بدی خروجی حاصل از این فراسنجه‌ها نتایج دقیق‌تری را نسبت به شبیه‌سازی با شبیه‌ریاضی HEC-RAS ارائه می‌دهد. آنها به منظور تخمین ضرائب ماسکینگام به روش الگوریتم و راثتی از تابع هدف مجموع مربعات خطأ استفاده نمودند.

با توجه به مطالعاتی که تاکنون انجام گرفته می‌توان اذعان داشت الگوریتم و راثتی، شبکه‌ی عصبی مصنوعی و شبکه‌ی عصبی فازی، به علت عدم استفاده از تقریب‌های درونی مرتبط با روش‌های تقریبی مرسوم، روشنی بسیار اصولی‌تر نسبت به آنها، در تخمین فراسنجه‌های روندیابی ماسکینگام است.

در مسائل بهینه‌سازی انتخاب تابع هدف موثر است. در هر مسئله با توجه به رفتار و طبیعت سامانه و همچنین متغیرهای تصمیم باید تابع هدفی مناسب انتخاب شود تا تصمیم‌گیرنده با توجه به هدف طرح بیشترین مطلوبیت آن را حاصل کند. انتخاب تابع هدف گامی مهم در مسائل بهینه‌سازی است که نگاهی اجمالی به تحقیقات انجام

یون و پادمانابهام (۱۹۹۳) شش روش را برای تخمین این فراسنجه‌ها بررسی نمودند که از آنها سه روش برای ماسکینگام خطی و سه روش دیگر برای رابطه روندیابی غیر خطی ماسکینگام می‌باشد. از آنجاییکه در بیشتر رودخانه‌های طبیعی رابطه‌ی میان بدی خروجی و ذخیره‌ی غیر خطی است، روش خطی نامناسب می‌باشد. روش پیشنهادی یون و پادمانابهام (۱۹۹۳) برای روندیابی سیلاب غیر خطی ماسکینگام، روشی تکراری می‌باشد که در آن از وايازی حداقل مربعات غیر خطی استفاده شده است. باری و باجرچاریا (۱۹۹۷) نشان دادند با این که در روش ماسکینگام بدون در نظر گرفتن شرایط مرزی عاملهای وزنی محاسبه می‌شند اما این روشها در مقایسه با روش‌های آبی دقت قابل قبولی دارند.

ولاد غفاری و همکاران (۱۳۸۹) دو روش روندیابی آبی به روش موج پویایی و شبیه ماسکینگام خطی و غیر خطی را با یکدیگر مقایسه نمودند. این محققین در تخمین فراسنجه‌های ماسکینگام از روش حداقل مربعات و سعی و خطأ استفاده نمودند. نتایج تحقیقات آنها بیانگر این موضوع است که روندیابی آبی سیلاب نسبت به روندیابی آشناسی دقیق‌تر بوده اما نیاز به مشخصات آبی مسیر می‌باشد و همچنین شبیه خطی ماسکینگام در شبیه‌سازی سیلاب نسبت به شبکه‌های دیگر ضعیف عمل می‌کند.

در چند دهه‌ی اخیر، فراسنجه‌های روش روندیابی سیلاب ماسکینگام با الگوریتم و راثتی و شبکه‌ی عصبی و شبکه‌ی عصبی فازی دیگر الگوریتم‌های فراکاوشی تخمین‌زده شده‌است. موهان (۱۹۹۷)، استفاده از الگوریتم و راثتی را برای تخمین فراسنجه‌های ماسکینگام پیشنهاد نمود و تابع هدف را مجموع مربعات تفاضل بده محاسباتی و بدی مشاهداتی در نظر گرفت. در نتایج تحقیق او این نکته بیان شده که کلیه روش‌های آزمون و خطأ جواب بهینه مطلق را ضمانت نمی‌کنند و در دام جواب‌های بهینه موضعی قرار می‌گیرند و می‌توان با به کار گیری الگوریتم و راثتی بدون نیاز به حدس اولیه به جواب قابل قبولی دست یافت.

کیم و همکاران (۲۰۰۱) با استفاده از روش جسجوی هماهنگ که یک روش فرالبتکاری تکاملی بر

$$P_k = \frac{f_k}{\sum f_f} \quad (7)$$

جایه‌جایی مهمترین عملگر و راثتی است که برای ترکیب دو کرموزوم از والدین و ایجاد فرزندان جدید انجام می‌شود. روشهای جایه‌جایی پوش یک نقطه ای و جایه‌جایی یکنواخت، از انواع متداول جایه‌جایی است. در این عملگر آهنگ جایه‌جایی به صورت نسبتی از تعداد فرزندان تولید شده از هر نسل به مقدار نسل حاضر تعریف می‌شود. جهش و راثتی نیز عملگر دیگری است که می‌تواند تغییرهایی در یک یا چند زن از یک کرموزوم به وجود آورد. در الگوریتم‌های وراثتی جهش و راثتی نقش حساسی را به یکی از دو شکل جایه‌جایی ژنهای گمشده نسل در طول فرآیند انتخاب به شکل یک کرموزوم جدید و یا داخل کردن ژنهایی که در نسل حاضر موجود نیستند به نسل جدید، ایفا می‌نماید. آهنگ جهش به صورت درصدی از مجموعه ژنهای هر نسل بیان می‌شود. در این تحقیق برای اجرای الگوریتم وراثتی از جعبه ابزار نرم افزار متلب استفاده شده است.

### تابع هدف انتخابی

تابع هدف شاخصی از نحوه عملکرد افراد در فضای مسئله به ما می‌دهد. در هر مسئله با توجه به متغیرهای تصمیم رابطه‌ی ریاضی برای تابع هدف در نظر گرفته می‌شود که تصمیم‌گیرنده با توجه به هدف مسئله سعی در کمینه یا بیشینه نمودن آن دارد. مقدس‌زاد و منتظری پور (۱۳۸۶) در نتایج تحقیقات خود روی کاربرد الگوریتم وراثتی در ارائه‌ی برنامه‌ای برای روسازی این نکته را متذکر شده‌اند که تغییر تابع هدف می‌تواند بر استراتژی تصمیم‌گیری موثر باشد با این رویکرد می‌توان بیان نمود که انتخاب تابع هدف مناسب می‌تواند در تخمین مقادیر فراسنجهای ماسکینگام موثر است.

در این قسمت از روش روندیابی آبشناسی بهره گرفته و تابع هدف متفاوتی جهت تخمین فراسنجهای ماسکینگام در نظر گرفته می‌شوند. هدف آن است که فراسنجهای ماسکینگام با استفاده از الگوریتم وراثتی و آبنگارهای ورودی و خروجی مشاهداتی چنان محاسبه گردد که تابع هدف تعریف شده، کمینه شود. همانگونه که گفته شد، در روندیابی آبشناسی از معادله‌ی اندازه

گرفته در زمینه‌ی روندیابی سیلاپ و تخمین فراسنجهای ماسکینگام عدم توجه کافی به این مسئله را نشان می‌دهد. در این تحقیق به منظور بررسی نقش تابع هدف در روندیابی سیلاپ رودخانه‌ها، برای شبیه خطی و غیر خطی ماسکینگام با بهینه سازی چند تابع هدف مختلف با استفاده از الگوریتم وراثتی و مقایسه‌ی نتایج حاصل از آنها، تاثیرات تابع هدف در پیش‌بینی مقادیر فراسنجهای ماسکینگام شبیه خطی و غیر خطی و بدئی خروجی محاسباتی بررسی گردیده است.

### مواد و روشها

#### الگوریتم وراثتی (GA)

الگوریتم‌های وراثتی فن‌های جستجوی تصادفی هستند که بر پایه‌ی ساز و کار وراثتی و انتخاب طبیعی بنده‌اند. شکل معمول الگوریتم وراثتی نخستین بار توسط گلدبُرگ (۱۹۸۷) ارائه شد. الگوریتم‌های وراثتی از مجموعه‌ای از راه حل‌های تصادفی اولیه به نام "جمعیت" آغاز می‌شوند. هر جزء از جمعیت، "کرموزوم" نامیده می‌شود که بیانگر یک پاسخ مساله است. کرموزومها در تکرارهای موفق که "نسل" نامیده می‌شوند، متتحول می‌گردند. در هر نسل کرموزومها با محاسبه تابع برازش ارزیابی می‌شوند. برای ایجاد نسل بعد کرموزوم‌های جدید که "فرزنдан" نامیده می‌شوند به وسیله یکی از دو عملگر جایه‌جایی و جهش وراثتی ایجاد می‌شوند. نسل جدید نیز از روى انتخاب بر اساس مقدار تابع برازش والدین و فرزندان و یا حذف دیگران برای ثابت نگهداشت‌تن جمعیت شکل می‌گیرد. بعد از چندین نسل الگوریتم به سمت کرموزوم می‌هدایت می‌شود که در بهترین حالت ارائه دهنده پاسخی نسبتاً بهینه از مساله است.

بطور معمول انتخاب اولیه به صورت تصادفی انجام می‌شود. در نمونه گیری تصادفی تعداد واقعی کرموزوم‌های مورد تکثیر بر اساس احتمال زنده ماندن آن کرموزوم تعیین می‌شود.

شناخته شده‌ترین این دسته روشها "انتخاب نسبی هلند" یا "انتخاب بر پایه چرخ رولت" است که احتمال زنده ماندن برای هر کرموزوم بر اساس مقدار تابع برازش  $f_k$  آن تعیین می‌شود. برای کرموزوم  $k$  با تابع برازش  $f_k$  احتمال انتخاب  $P_k$  به شکل زیر محاسبه می‌شود:

## نتایج و بحث

به منظور بررسی اثر توابع هدف انتخابی  $8, 9$  و  $12$  بر مقادیر فراسنجهای ماسکینگام خطی و غیرخطی، از داده‌های مربوط به بازه‌های  $6$  ساعته رودخانه نارمادا در هند استفاده شده است.

در ابتدا با فرض  $m=1$ ، با بهینه‌سازی توابع هدف انتخابی  $8, 9$  و  $12$  دو فراسنجهای  $k$  و  $x$  برآورد شده و با استفاده از آنها بدئی خروجی با استفاده از رابطه‌ی  $3$  محاسبه شده است. در این راستا ابتدا برای هر کدام از توابع هدف، اثر فراسنجهای مختلف الگوریتم وراثتی (جمعیت)، تابع مقیاس، تابع انتخاب والد، عملگر وراثت، عملگر جهش زنها، تابع اختلاط، عدد نخبه) بر همگرایی تابع بررسی گردیده و به عبارتی شبیه واسنجی شده است. واسنجی کردن شبیه یکی از گام‌های اساسی برای رسیدن به حل بهینه و یا نزدیک به بهینه در الگوریتم وراثتی است (آبایی و همکاران، ۱۳۹۰).

بهترین گزینه با توجه به بهینه شدن مقدار تابع هدف در جدول  $1$  ارائه شده است. لازم به ذکر است که در گزینه‌های ارائه شده جهت رسیدن به مقدار بهینه تابع هدف بایستی اندازه‌ی جمعیت  $17$  کروموزوم و تابع تولید را تصادفی در نظر گرفت. تعداد افراد جمعیت، تعداد حل‌هایی را که در هر نسل باید پردازش شوند را مشخص می‌کند و فراسنچ بسیار مهمی در فرآیند حل توسط الگوریتم وراثتی است که باید برای هر مسئله با توجه به ماهیت موضوع تعیین شود. هر چه تعداد افراد بیشتر باشد فضای جستجوی بیشتری پیش روی الگوریتم است اما محدودیت‌هایی مانند طرفیت حافظه‌ی رایانه و سرعت پردازش اطلاعات اجازه انتخاب جمعیت خیلی بزرگ را نمی‌دهد (مقدس‌نژاد و منتظری پور، ۱۳۸۶).

مقادیر تخمینی فراسنجهای  $k$  و  $x$  و بدئی خروجی محاسباتی پس از بهینه شدن این توابع در جدول  $2$  ارائه شده‌اند. همانگونه که در جدول  $2$  مشاهده می‌گردد، تمام توابع در پیش‌بینی بدئی خروجی بیشینه با استفاده از فراسنجهای  $k$  و  $x$  بدست آمده، عملکرد خوبی داشته‌اند. بطوریکه میانگین درصد خطای نسبی  $15/67$ ،  $9/97$  و  $11/31$ % به ترتیب مربوط به توابع هدف  $f_1$ ،  $f_2$  و  $f_3$  است.

حرکت به کلی صرف نظر شده و فقط معادله‌ی پیوستگی مورد استفاده قرار می‌گیرد. با جای‌گذاری معادله‌ی  $2$  در معادله‌ی  $1$  می‌توان یکی از توابع هدف انتخابی را به صورت زیر نوشت:

(۸)

$$f_1 = \sum_{i=1}^n \left| \left( \tilde{I}_{t_i+\Delta t} + \tilde{I}_{t_i} \right) / 2 - \left( \tilde{O}_{t_i+\Delta t} + \tilde{O}_{t_i} \right) / 2 \right|^2 \\ - k \cdot \Delta t - k \left( x \cdot \tilde{I}_{t_i+\Delta t} + (1-x) \cdot \tilde{O}_{t_i+\Delta t} \right)^m \\ + k \left( x \cdot \tilde{I}_{t_i} + (1-x) \cdot \tilde{O}_{t_i} \right)^m \right|^2$$

که در آن  $\tilde{O}_{t_i+\Delta t}$  و  $\tilde{O}_{t_i}$  به ترتیب بدئی خروجی مشاهداتی در زمان  $t_i$  و  $\Delta t$  و  $\tilde{I}_{t_i+\Delta t}$  و  $\tilde{I}_{t_i}$  بدئی ورودی مشاهداتی در همان زمان‌ها می‌باشند. اما می‌توان بدئی خروجی را با استفاده از معادله‌ی  $3$  محاسبه نمود و تابع هدف دیگر را به صورت زیر تعریف نمود:

$$f_2 = \sum_{i=1}^n \left| O_{t_i} - \tilde{O}_{t_i} \right|^2 \quad (9)$$

که در آن،  $O_{t_i}$  بدئی خروجی محاسبه شده و  $\tilde{O}_{t_i}$  بدئی خروجی مشاهده شده است.  $O_{t_i}$  در حالت خطی ( $m=1$ ) از رابطه  $3$  و در حالت غیر خطی  $O_{t_i}$  از حل معادله‌ی زیر بدست می‌آید:

$$O_{t_i} = \frac{1}{1-x} \left( \frac{\tilde{S}_{t_i}}{k} \right)^{\frac{1}{m}} - \frac{x}{1-x} \tilde{I}_{t_i} \quad (10)$$

که در آن  $O_{t_i}$  بدئی خروجی محاسباتی،  $\tilde{I}_{t_i}$  بدئی ورودی مشاهداتی و  $\tilde{S}_{t_i}$  ذخیره‌ی مشاهداتی در در زمان  $t_i$  می‌باشند. ذخیره‌ی مشاهداتی از رابطه‌ی زیر محاسبه می‌گردد:

$$\tilde{S}_{t_i} = \left( \frac{\tilde{I}_{t_i-\Delta t} + \tilde{I}_{t_i}}{2} - \frac{\tilde{O}_{t_i-\Delta t} + \tilde{O}_{t_i}}{2} \right) \\ \cdot \Delta t + \tilde{S}_{t_i-\Delta t} \quad (11)$$

همچنین تابع هدف می‌تواند بر اساس اختلاف بین ذخیره‌ی مشاهداتی و ذخیره‌ی محاسباتی انتخاب شود:

$$f_3 = \sum_{i=1}^n \left| k \left( x \cdot \tilde{I}_{t_i} + (1-x) \cdot \tilde{O}_{t_i} \right)^m - \tilde{S}_{t_i} \right|^2 \quad (12)$$

که در آن،  $\tilde{O}_{t_i}$ ،  $\tilde{I}_{t_i}$  و  $\tilde{S}_{t_i}$  به ترتیب ذخیره‌ی بدئی ورودی و بدئی خروجی مشاهداتی در زمان  $t_i$  هستند.

جهت بررسی مناسبتر نتایج، در شکل ۱ آبنگار خروجی محاسباتی حاصل از بهینه سازی توابع هدف، ۸ و ۹ در مقایسه با آبنگار خروجی مشاهداتی نشان داده شده است. چنانچه در شکل ۱ مشاهده می‌گردد، با استفاده از توابع  $f_1$  بدی خروجی در قسمت ابتدایی و انتهایی آبنگار مناسب تر از توابع دیگر محاسبه می‌شود. همچنین در این شکل مشاهده می‌گردد که همواره اختلاف زمانی میان آبنگار مشاهداتی و آبنگار محاسباتی وجود دارد اما این اختلاف زمانی در تابع  $f_1$  بیشتر از توابع دیگر است.

است. درصد خطای نسبی در هر گام زمانی از رابطه‌ی ۱۳ محاسبه شده است:

$$\text{Error} = \left| O_{(t_i)} - \tilde{O}_{(t_i)} \right| / O_{(t_i)} \quad (13)$$

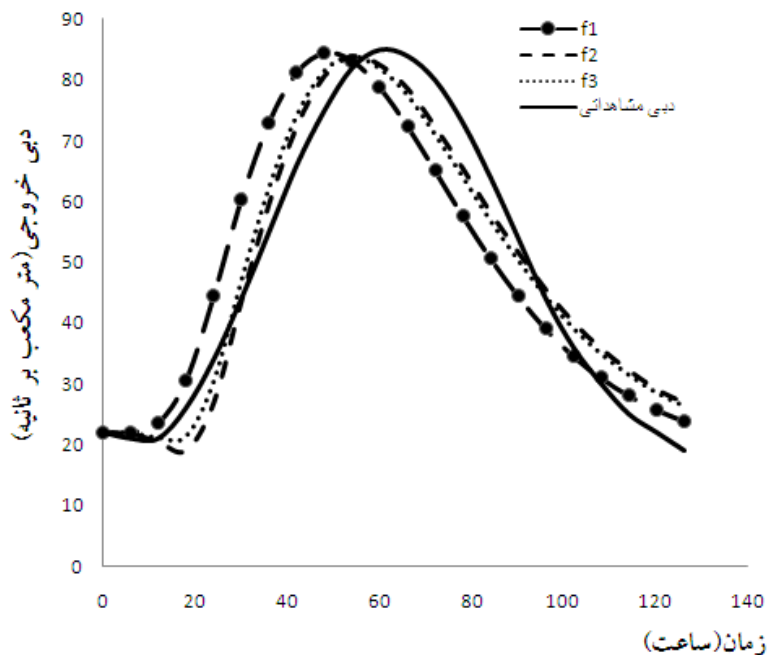
که در آن،  $O_{(t_i)}$  بدی خروجی محاسبه شده و  $\tilde{O}_{(t_i)}$  بدی خروجی مشاهده شده است. میانگین درصد خطای نسبی بیانگر این مطلب است در این حالت و با فراسنجهای موجود تابع هدف  $f_2$  نتایج قابل قبول تری را نسبت به سایر توابع ارائه کرده است. لازم به ذکر است که مقدار بدی خروجی بیشینه، بدست آمده از بهینه سازی تابع هدف  $f_1$  بیشتر از توابع دیگر می‌باشد.

جدول ۱- بهترین گزینه‌ی فراسنجهای مختلف الگوریتم و راثتی در بهینه سازی ماسکینگام خطی

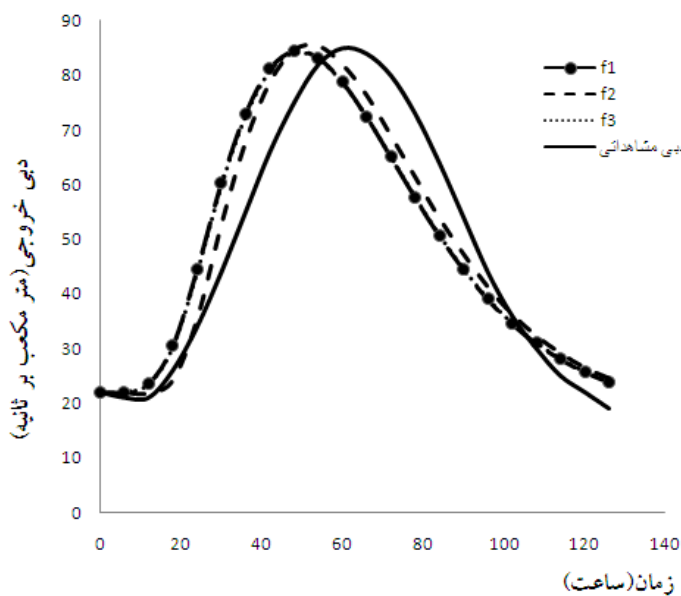
| شماره | تابع هدف | تابع مقیاس  | تابع انتخاب        | عدد نخبه | نسبت وراست | تابع جهش | تابع وراست  | تابع اختلاط   |
|-------|----------|-------------|--------------------|----------|------------|----------|-------------|---------------|
| ۱     | $f_1$    | propotional | Stochastic uniform | ۱۶       | ۰/۸        | Gaussian | herustic    | -             |
| ۲     | $f_2$    | Rank        | Tournament         | ۲        | ۰/۸        | Gaussian | arithimetic | patternsearch |
| ۳     | $f_3$    | Rank        | Tournament         | ۱۵       | ۰/۲۳       | Gaussian | arithimetic | -             |

جدول ۲- مقادیر تخمینی فراسنج‌های  $k$  و  $x$  و بدی خروجی محاسباتی در ماسکینگام خطی.

| $t(h)$ | $I(m^3/s)$ | $\tilde{O}(m^3/s)$ | $f_1$    | $f_2$   | $f_3$   | % Error1 | % Error2 | % Error3 |
|--------|------------|--------------------|----------|---------|---------|----------|----------|----------|
| .      | ۲۲         | ۲۲                 | ۲۲       | ۲۲      | ۲۲      | ۰        | ۰        | ۰        |
| ۶      | ۲۳         | ۲۱                 | ۲۲/۱۱۲   | ۲۱/۸۶۶  | ۲۱/۹۱۴۷ | ۵/۳      | ۴/۱      | ۴/۴      |
| ۱۲     | ۳۵         | ۲۱                 | ۲۳/۶۸۲۱  | ۲۰/۵۲۲  | ۲۱/۱۴۸۲ | ۱۳       | ۲/۳      | ۰/۷      |
| ۱۸     | ۷۱         | ۲۶                 | ۳۰/۵۹۵   | ۱۹/۰۷۴۲ | ۲۱/۳۵۴  | ۱۸       | ۲۷       | ۱۸       |
| ۲۴     | ۱۰۳        | ۳۴                 | ۴۴/۴۶۳   | ۲۶/۸۹۹۴ | ۳۰/۳۶۴۶ | ۳۱       | ۲۱       | ۱۱       |
| ۳۰     | ۱۱۱        | ۴۴                 | ۶۰/۲۵۷۷  | ۴۳/۵۷۱۷ | ۴۶/۸۵۷۶ | ۳۷       | ۱        | ۶/۵      |
| ۳۶     | ۱۰۹        | ۵۵                 | ۷۲/۹۴۸۴  | ۵۹/۵۷۸۸ | ۶۲/۱۹۵  | ۳۳       | ۸/۳      | ۱۳       |
| ۴۲     | ۱۰۰        | ۶۶                 | ۸۱/۱۱۶   | ۷۲/۵۵۳۱ | ۷۴/۰۲۹۸ | ۲۳       | ۹/۹      | ۱۲       |
| ۴۸     | ۸۶         | ۷۵                 | ۸۴/۳۵۴۲  | ۸۰/۶۵۱  | ۸۱/۳۶۴۳ | ۱۲       | ۷/۵      | ۸/۵      |
| ۵۴     | ۷۱         | ۸۲                 | ۷۸/۶۷۱   | ۸۳/۹۰۹۶ | ۸۳/۷۳۹۴ | ۴/۱      | ۲/۳      | ۲/۱      |
| ۶۰     | ۵۹         | ۸۵                 | ۷۸/۶۷۱   | ۸۲/۵۰۶۳ | ۸۱/۷۵۰۳ | ۷/۴      | ۲/۹      | ۳/۸      |
| ۶۶     | ۴۷         | ۸۴                 | ۷۲/۲۲۰۳  | ۷۸/۶۳۰۶ | ۷۷/۳۹۴  | ۱۴       | ۶/۴      | ۷/۹      |
| ۷۲     | ۳۹         | ۸۰                 | ۶۴/۹۷۹۸  | ۷۲/۳۲۳۴ | ۷۰/۸۸۹۳ | ۱۹       | ۹/۶      | ۱۱       |
| ۷۸     | ۳۲         | ۷۳                 | ۵۷/۵۸۳۵  | ۶۵/۴۸۷۲ | ۶۳/۹۴۵۷ | ۲۱       | ۱۰       | ۱۲       |
| ۸۴     | ۲۸         | ۶۴                 | ۵۰/۶۲۴   | ۵۱/۶۹۸۵ | ۵۶/۷۳۳  | ۲۱       | ۱۹       | ۱۱       |
| ۹۰     | ۲۴         | ۵۴                 | ۴۴/۴۱۷۸  | ۴۵/۰۴۴  | ۵۰/۲۸   | ۱۸       | ۱۶       | ۶/۹      |
| ۹۶     | ۲۲         | ۴۴                 | ۳۸/۹۹۷۱  | ۴۰/۱۵۴۷ | ۴۴/۲۳۶۴ | ۱۱       | ۸/۷      | ۰/۵      |
| ۱۰۲    | ۲۱         | ۳۶                 | ۳۴/۵۵۵۹۱ | ۳۵/۸۱۹۹ | ۳۹/۰۶۳۷ | ۴        | ۰/۵      | ۸/۵      |
| ۱۰۸    | ۲۰         | ۳۰                 | ۳۰/۹۹۶۱  | ۳۲/۲۶۳۱ | ۳۴/۸۷۷۷ | ۳/۳      | ۷/۵      | ۱۶       |
| ۱۱۴    | ۱۹         | ۲۵                 | ۲۸/۰۸۵۴  | ۲۹/۱۶۸۷ | ۳۱/۴۴۵  | ۱۲       | ۱۷       | ۲۶       |
| ۱۲۰    | ۱۹         | ۲۲                 | ۲۵/۷۷۳   | ۲۱/۸۶۶  | ۲۸/۵۰۲۳ | ۱۷       | ۰/۶      | ۳۰       |
| ۱۲۶    | ۱۸         | ۱۹                 | ۲۳/۹۳۷۲  | ۲۶/۹۳۰۳ | ۲۶/۳۴۰۷ | ۲۶       | ۴۲       | ۳۹       |
| $k(h)$ |            |                    | ۲۰/۹۲۸   | ۲۹/۱۶   | ۳۵/۵۲   |          |          |          |
| $x$    |            |                    | ۰/۱۷     | ۰/۲۲۱   | ۰/۱۸۸   |          |          |          |



شکل ۱- آبنگارخروجی محاسباتی در مقایسه با آبنگار خروجی مشاهداتی در ماسکینگام خطی.



شکل ۲- آبنگارخروجی محاسباتی در مقایسه با آبنگار خروجی مشاهداتی در ماسکینگام خطی با در نظر گرفتن فراسنجهای الگوریتم وراثتی یکسان.

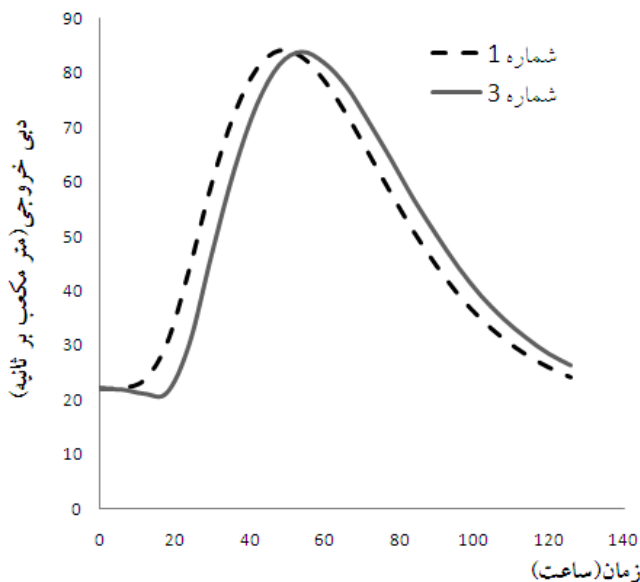
فراسنجهای الگوریتم وراثتی یکسان، بددهی خروجی محاسبه شده با مقادیر تخمینی فراسنجهای  $k$  و  $x$  حاصل از بهینه شدن تابع هدف  $f_2$  به مقادیر حاصل از تابع هدف  $f_1$  نزدیکتر شده است ولی با توجه به ابتدای

در شکل ۲ آبنگار خروجی محاسباتی با بهینه سازی توابع  $f_2$  و  $f_3$  با در نظر گرفتن فراسنجهای الگوریتم وراثتی که در بهینه سازی تابع هدف  $f_1$  (ارائه شده در جدول ۱) به کار رفته، نشان داده شده است. همانگونه که در شکل ۲ مشاهده می‌گردد با در نظر گرفتن

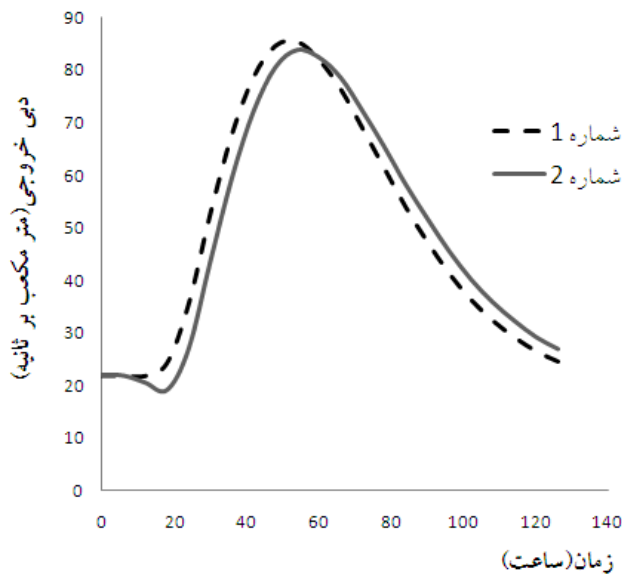
است و رفتار دوتابع هدف  $f_2$  و  $f_3$  در تخمین فراسنجهای ماسکینگام تقریباً مشابه می‌باشد. شکل‌های ۳ و ۴ بیانگر این مطلب می‌باشند که فراسنجهای الگوریتم وراثتی به طور مستقیم در جواب‌های خروجی موثر می‌باشد. تاثیر فراسنجهای الگوریتم وراثتی بر روی جوابهای خروجی را می‌توان در نتایج تحقیق آبایی و همکاران بر روی تعدل غلظت آلاینده‌ها در آبهای زیر زمینی (۱۳۹۰) نیز مشاهده نمود.

آبنگار همچنان تابع هدف  $f_2$  نسبت به  $f_1$  بهتر عمل می‌کند.

در شکل ۳ و شکل ۴ بدھی خروجی محاسبه شده با بھینه‌سازی توابع هدف  $f_2$  و  $f_3$  در دو حالت مختلف فراسنجهای الگوریتم وراثتی با یکدیگر مقایسه شده است. همانگونه که در شکل‌های ۳ و ۴ مشاهده می‌گردد، بدھی خروجی محاسبه شده با بھینه سازی  $f_2$  و  $f_3$  در مقدار بدھی بیشینه و قسمت ابتدایی تغییراتی داشته است و همچنین تاخیر زمانی در آبنگار خروجی نیز افزایش یافته



شکل ۳- بدھی خروجی محاسبه شده با بھینه سازی  $f_3$  با فراسنجهای الگوریتم وراثتی شماره (۱) و (۳).



شکل ۴- بدھی خروجی محاسبه شده با بھینه سازی  $f_2$  با فراسنجهای الگوریتم وراثتی شماره (۱) و (۲).

قسمت ابتدایی آبنگار مناسب اما در قسمت انتهایی آن افزایش قابل توجهی دارد (تقرباً ۶۳٪ بیشتر از بده مشاهداتی است) (شکل ۵).

با بهینه‌سازی توابع هدف ۸، ۹ و ۱۲ فراسنجهای ماسکینگام غیرخطی چنان برآورده می‌شوند که تفاوت میان بدهی مشاهده شده و بدهی محاسبه شده در توابع هدف ۸ و ۱۲ بسیار اندک و در تابع هدف ۹ تنها تفاوتی در قسمت انتهایی آبنگار مشاهده می‌شود (شکل ۶ و جدول ۴). با توجه به جدول ۴ و درصد خطای نسبی تابع  $f_1$  نتایج بهتری را نسبت به سایر توابع ارائه کرده است (جدول ۴).

با مقایسه مقدادیر بدهی محاسبه شده در جدول ۲ و جدول ۴ مشخص می‌شود که بدهی خروجی بیشینه محاسبه شده در ماسکینگام غیرخطی با بهینه سازی تابع  $f_1$  در مقایسه با بدهی خروجی مشاهداتی بیشتر از ماسکینگام خطی همان تابع شده است و همچنین در این تابع اختلاف میان بدهی بیشینه محاسبه شده ماسکینگام غیرخطی کمتر است. اختلاف زمانی میان آبنگار خروجی محاسبه شده و آبنگار خروجی مشاهداتی در ماسکینگام خطی است (شکل ۱ و شکل ۶). محققینی همچون یون و پادمانابه‌ام (۱۹۹۳) و ظهیری و همکاران (۱۳۹۱) نیز در نتایج تحقیقات خود به ضعف شبیه ماسکینگام خطی نسبت به شبیه غیرخطی اشاره نموده‌اند.

در راستای بررسی اثر فراسنجهای الگوریتم وراثتی، تابع وراثت نیز در تابع هدف ۱۲ یکسان با تابع دیگر در نظر گرفته شده است. همانگونه که در شکل ۷ مشاهده می‌گردد، تغییر چندانی در آبنگار محاسباتی خروجی به وجود نیامده است. لازم به ذکر است که حالت بهینه مقدار توابع هدف در ماسکینگام غیرخطی طی ۵۰ نسل و در ماسکینگام خطی طی ۱۰۰ نسل محاسبه می‌گردد.

از آنجاییکه در بیشتر رودخانه‌های طبیعی رابطه‌ی میان بدهی خروجی و ذخیره‌ی غیرخطی است، روش غیرخطی مناسبتر می‌باشد، بدین منظور در ادامه با  $m \neq 1$ ،  $k$ ،  $x$  برآورد شده و با استفاده از آنها فراسنجهای  $m$ ،  $k$  و  $x$  برآورده شده و با استفاده از آنها بدهی خروجی محاسبه شده است. ابتدا برای هر کدام از توابع هدف، اثر فراسنجهای مختلف الگوریتم وراثتی (جمعیت، تابع مقیاس، تابع انتخاب والد، عملگر وراثت، عملگر جهش زنها، تابع اختلاط، عدد نخبه) بر همگرایی تابع هدف بررسی گردیده است. بهترین گزینه با توجه به بهینه شدن مقدار تابع هدف در جدول ۳ ارائه شده است. لازم به ذکر است که در گزینه‌های ارائه شده در روش غیرخطی نیز جهت رسیدن به مقدار بهینه تابع هدف بایستی اندازه جمعیت ۱۷ کروموزوم و تابع تولید را تصادفی در نظر گرفت. همانگونه که در جدول ۳ ملاحظه می‌گردد بهترین گزینه الگوریتم وراثتی در حالت غیرخطی در تابع هدف انتخابی ۸ و ۹ مشابه و در تابع هدف ۱۲ تنها در تابع وراثت با دیگر توابع متفاوت می‌باشد.

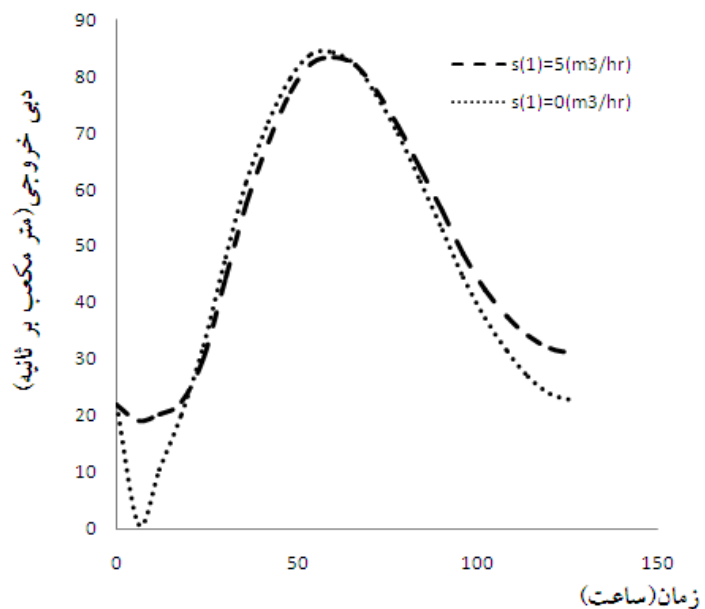
لازم به توضیح است که در این حالت در تابع هدف  $f_1$  و  $f_3$  در ماسکینگام غیرخطی ابتدا با بهینه سازی توابع فوق فراسنجهای  $m$ ،  $k$  و  $x$  برآورده شده و سپس با جایگذاری این مقدادیر در معادله‌ی ۱ با در نظر گرفتن ذخیره از رابطه‌ی ۲ و حل معادله‌ی غیرخطی حاصل مقدار بدهی خروجی محاسبه شده است. اما چنانچه از تابع هدف  $f_2$  در ماسکینگام غیرخطی استفاده شود پس از تخمین فراسنجهای  $m$ ،  $k$  و  $x$ ، از معادله‌ی ۱۰ برای محاسبه‌ی  $O_{(t_i)}$  استفاده شده است. لازم به ذکر است که در تابع هدف  $f_2$  چنانچه مقدار ذخیره‌ی اولیه مشاهداتی برابر صفر در نظر گرفته شود، مقدادیر فراسنجهای  $m$ ،  $k$  و  $x$  چنان تخمین زده می‌شود که بدهی خروجی محاسباتی در قسمت ابتدایی آبنگار نامناسب برآورد می‌شود اما چنانچه مقدار این ذخیره‌ی اولیه مشاهداتی ۵ مترمکعب بر ساعت باشد، بدهی خروجی محاسباتی در

جدول ۳ - بهترین گزینه فراسنجهای مختلف الگوریتم و راثتی در بهینه سازی ماسکینگام غیرخطی.

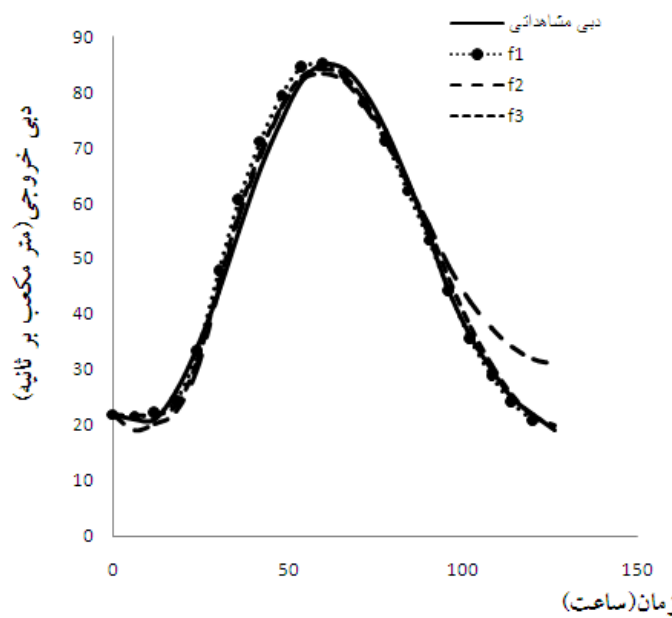
| تابع اختلاط | تابع وراثت | تابع جهش          | تابع وراثت | نسبت وراثت | عدد نخبه | تابع انتخاب | تابع مقیاس | تابع هدف | تابع هدف | شماره |
|-------------|------------|-------------------|------------|------------|----------|-------------|------------|----------|----------|-------|
| -           | heruristic | Adaptive feasible | -          | ۰/۸        | ۲        | Reminder    | Rank       | $f_1$    | ۴        |       |
| -           | heruristic | Adaptive feasible | -          | ۰/۸        | ۲        | Reminder    | Rank       | $f_2$    | ۵        |       |
| -           | intermedia | Adaptive feasible | -          | ۰/۸        | ۲        | Roulette    | Rank       | $f_3$    | ۶        |       |

جدول ۴ - مقادیر تخمینی فراسنجهای  $m$ ,  $k$  و  $x$  و بدئی خروجی محاسباتی در ماسکینگام غیرخطی.

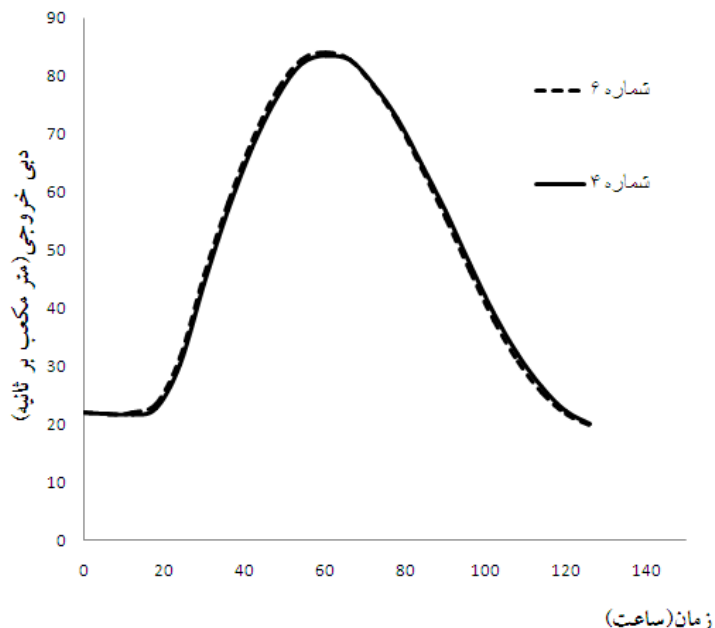
| $t(h)$ | $I(m^3/s)$ | $\tilde{O}(m^3/s)$ | $f_1$ | $f_2$   | $f_3$ | %Error1 | %Error2 | %Error3 |
|--------|------------|--------------------|-------|---------|-------|---------|---------|---------|
| •      | ۲۲         | ۲۲                 | ۲۲    | ۲۲      | ۲۲    | •       | •       | •       |
| ۶      | ۲۳         | ۲۱                 | ۲۱/۶  | ۱۹/۰۲۱  | ۲۱/۷  | ۳/۳     | ۹/۴     | ۳/۳     |
| ۱۲     | ۳۵         | ۲۱                 | ۲۲/۱  | ۲۰/۲۸۷۵ | ۲۱/۹  | ۵/۲     | ۳/۴     | ۴/۳     |
| ۱۸     | ۷۱         | ۲۶                 | ۲۴/۴  | ۲۲/۳۳۲۶ | ۲۳/۵  | ۶/۱     | ۱۴      | ۹/۶     |
| ۲۴     | ۱۰۳        | ۳۴                 | ۳۳/۳  | ۳۰/۲۸۸۹ | ۳۱/۸  | ۲/۱     | ۱۱      | ۷/۱     |
| ۳۰     | ۱۱۱        | ۴۴                 | ۴۴/۹  | ۴۴/۳۳   | ۴۵/۶  | ۲       | ۰/۷     | ۳/۶     |
| ۳۶     | ۱۰۹        | ۵۵                 | ۶۰/۵  | ۵۷/۳۲۹۳ | ۵۸/۲  | ۱۰      | ۴/۳     | ۵/۸     |
| ۴۲     | ۱۰۰        | ۶۶                 | ۷۱/۲  | ۶۸/۴۱۲  | ۶۹    | ۷/۹     | ۳/۷     | ۴/۵     |
| ۴۸     | ۸۶         | ۷۵                 | ۷۹/۵  | ۷۷/۱۰۲۸ | ۷۷/۶  | ۶       | ۲/۸     | ۳/۵     |
| ۵۴     | ۷۱         | ۸۲                 | ۸۴/۳  | ۸۲/۳۲۷  | ۸۲/۸  | ۲/۸     | ۰/۴     | ۱       |
| ۶۰     | ۵۹         | ۸۵                 | ۸۴/۹  | ۸۳/۳۸۰۹ | ۸۴    | ۰/۱     | ۱/۹     | ۱/۲     |
| ۶۶     | ۴۷         | ۸۴                 | ۸۳/۱  | ۸۱/۹۸۶۱ | ۸۲/۸  | ۱/۱     | ۲/۴     | ۱/۴     |
| ۷۲     | ۳۹         | ۸۰                 | ۷۷/۹  | ۷۷/۳۴۷۵ | ۷۸/۲  | ۲/۶     | ۳/۳     | ۲/۳     |
| ۷۸     | ۳۲         | ۷۳                 | ۷۱    | ۷۱/۱۸۱  | ۷۲    | ۲/۷     | ۲/۵     | ۱/۴     |
| ۸۴     | ۲۸         | ۶۴                 | ۶۲/۳  | ۶۳/۴۷۶۳ | ۶۳/۹  | ۲/۷     | ۰/۸     | ۰/۲     |
| ۹۰     | ۲۴         | ۵۴                 | ۵۳/۴  | ۵۵/۹۳۸۵ | ۵۵/۴  | ۱/۱     | ۳/۶     | ۲/۶     |
| ۹۶     | ۲۲         | ۴۴                 | ۴۴    | ۴۸/۲۷۴۹ | ۴۶/۳  | •       | ۹/۷     | ۵/۲     |
| ۱۰۲    | ۲۱         | ۳۶                 | ۳۵/۵  | ۴۲/۱۴۴۸ | ۳۷/۸  | ۱/۴     | ۱۷      | ۵       |
| ۱۰۸    | ۲۰         | ۳۰                 | ۲۸/۸  | ۳۷/۳۳۴۷ | ۳۰/۸  | ۴       | ۲۴      | ۲/۷     |
| ۱۱۴    | ۱۹         | ۲۵                 | ۲۴    | ۳۴/۰۰۱۱ | ۲۵/۴  | ۴       | ۳۶      | ۱/۶     |
| ۱۲۰    | ۱۹         | ۲۲                 | ۲۰/۸  | ۳۱/۷۵۸۴ | ۲۱/۷  | ۵/۵     | ۴۴      | ۱/۴     |
| ۱۲۶    | ۱۸         | ۱۹                 | ۱۹/۳  | ۳۱/۰۶۲۱ | ۱۹/۸  | ۱/۶     | ۶۳      | ۴/۲     |
|        | $k(h)$     |                    | ۰/۱۴۴ | ۰/۱۹۲   | ۰/۱۴۴ |         |         |         |
|        | $x$        |                    | ۰/۲۷  | ۰/۲۷    | ۰/۲۸۳ |         |         |         |
|        | $m$        |                    | ۲/۱۳۵ | ۲/۱۰۱   | ۲/۱۶۴ |         |         |         |



شکل ۵- اثر ذخیره اولیه مشاهداتی بر آبنگار خروجی محاسباتی درتابع هدف  $f_2$



شکل ۶- آبنگار خروجی محاسباتی در مقایسه با آبنگار خروجی مشاهداتی در ماسکینگام غیرخطی.



شکل ۷- بدھی خروجی محاسبه شده با بهینه سازی  $f_3$  با فراسنجهای الگوریتم وراثنی شماره (۴) و (۶).

فراسنجهای بهینه شده تابع هدف  $f_1$ ، تطابق بیشتری با بدھی خروجی مشاهده دارد.

در ماسکینگام خطی با استفاده از فراسنجهای الگوریتم وراثنی متفاوت برای هر تابع هدف در آبنگارهای خروجی محاسباتی تفاوت‌هایی مشاهده می‌گردند که این تفاوت‌ها در ماسکینگام غیرخطی برای توابع هدف متفاوت اندک می‌باشد.

لازم به ذکر است، تابع هدف در ماسکینگام غیر خطی نسلهای کمتری نسبت به ماسکینگام خطی بهینه می‌گردد. در ماسکینگام غیر خطی همواره بدھی بیشینه محاسباتی کمتر از بدھی بیشینه مشاهداتی برآورد می‌گردد در حالیکه در ماسکینگام خطی با توجه به فراسنجهای الگوریتم وراثنی و تابع هدف خطی، امکان محاسبه بدھی بیشینه بیشتر از بدھی بیشینه مشاهداتی می‌باشد.

در تابع هدف  $f_2$  (مجموع مربعات خطای بدھی خروجی) چنانچه مقدار ذخیره‌ی اولیه مشاهداتی برابر صفر در نظر گرفته شود، مقادیر فراسنجهای  $m$ ,  $k$  و  $x$  چنان تخمین زده می‌شود که بدھی خروجی محاسباتی در قسمت ابتدایی آبنگار نامناسب برآورد می‌شود اما چنانچه مقدار این ذخیره‌ی اولیه مشاهداتی ۵

### نتیجه گیری

با توجه به نتایج تحقیق حاضر می‌توان بیان نمود که الگوریتم وراثنی روشی بسیار مناسب جهت تخمین فراسنجهای ماسکینگام خطی و غیر خطی است. می‌توان جهت تخمین فراسنجهای ماسکینگام، توابع هدف متفاوتی را تعریف نمود که در این مقاله سه تابع هدف مبتنی بر معادله‌ی پیوستگی منظور تعریف شده است. چنانچه با روش ماسکینگام خطی پس از بهینه سازی توابع هدف بدھی خروجی محاسبه شود، همواره آبنگار بدھی خروجی مشاهداتی دارای تاخیر زمانی می‌باشد در حالیکه این تاخیر زمانی در ماسکینگام غیرخطی بسیار اندک است.

در ماسکینگام خطی در صورتیکه فراسنجهای الگوریتم وراثنی متفاوتی (تعداد کروموزم‌ها و تابع هدف و...) برای توابع هدف در نظر گرفته شود با توجه به میانگین خطای نسبی در بدھی خروجی محاسبه شده با فراسنجهای بهینه شده تابع هدف  $f_2$  تطابق بیشتری با بدھی خروجی مشاهده دارد.

در ماسکینگام غیرخطی با فراسنجهای الگوریتم وراثنی یکسان می‌باشد و بدھی خروجی محاسبه شده با

8. Cunge, J.A. 1969. On the subject of the flood propagation computation method (Muskingum method). *J. Hydraul. Res.* 7: 205-230.
9. Chu, H.J. 2009. The Muskingum flood routing model using a Neuro-Fuzzy approach. *J. Civil. Eng. KSCE*. 13:371-376.
10. Gill, M.A. 1978. Flood routing by the Muskingum method." *J. Hydraul.* 36:353-363.
11. 10.Goldberg, D.E., and J. Richardso. 1987. Genetic algorithms with sharing for multimodal function optimization, *In: J.J. Grefenstette, (Ed).* Genetic algorithms and their applications. Lawrence Erlbaum Associates, Hillsdale, NJ. 41–49.
12. Kim, J.H., Z.W. Geem, and E.S. Kim. 2001. Parameter estimation of the nonlinear Muskingum model using harmony search. *J. Am. Water. Resour. As.* 37:1131-1138.
13. Heggen, R.J. 1984. Univariate least squares Muskingum flood routing. *Water. Resour. Bull.* 20: 103–107.
14. McCarthy, G.T. 1938. The unit hydrograph and flood routing. *Proc., Conf. of North Atlantic Div., U.S. Army Corps of Engrs., U.S. Engrg, Ofc., Providence, R.I.*
15. Mohan, S.1997. Parameter estimation of nonlinear Muskingum models using genetic algorithm. *J. Hydraul. Eng. ASCE*. 123: 137-142.

متوجه مکعب بر ساعت باشد، بدین خروجی محاسباتی در قسمت ابتدایی آبنگار مناسب اما در قسمت انتهایی آن افزایش قابل توجهی دارد.

## منابع

۱. آبایی، ع.، ع. قاهری، و. م. سعیدی. ۱۳۹۰. تهیه الگوریتم بهره‌برداری بهینه از آبخوان به منظور تعدیل غلظت آلینده‌ها. *محله آب و فاضلاب*. ۴: ۱۳۸-۱۳۲.
۲. اولاد غفاری، ا.، ا. فاخری‌فرد، ا. ناظمی، و. م. قربانی. ۱۳۸۹. روندیابی آبی سیلاب به روش موج پویایی و مقایسه با روندیابی آبشناصی ماسکینگام خطی و غیر خطی (مطالعه موردنی: لیقوان چای). *محله دانش آب و خاک*. ۲۰: (۳) ۴۷-۶۰.
۳. شفیعی، م.، ا. بزرگ حداد، و. افشار. ۱۳۸۶. بررسی ساختارهای جدید از الگوریتم وراثتی در بهینه‌سازی بهره‌برداری از مخازن. *محله فناوری و آموزش*. ۱: ۱۱۷-۱۲۲.
۴. ظهیری، ع.، ح. شریفان، و. س. تمدنی کناری. ۱۳۹۱. بهینه‌سازی روش ماسکینگام در روندیابی سیل در رودخانه‌های سیلابی. *پژوهشنامه مدیریت حوزه آبخیز*. ۳(۶): ۱-۱۴.
۵. قلعه‌نی، م.، ا. بزرگ حداد، و. ک. ابراهیمی. ۱۳۸۹. بهینه‌سازی فراستجهای شبیه غیر خطی ماسکینگام با استفاده از الگوریتم بهینه‌سازی نورد شبیه‌سازی شده. *نشریه آب و خاک*. ۲۴(۵): ۸۰-۹۱.
۶. مقدس نژاد، ف.، و. آ. منتظری پور. ۱۳۸۶. ارایه یک برنامه مدیریت روسازی با استفاده از الگوریتم وراثتی. *پژوهشنامه حمل و نقل*. ۴(۳): ۲۳۵-۲۴۸.
7. Barry, D.A., and K. Bajracharya. 1997. On the Muskingum-vung flood routing method. *Environ. 21*: 485-490.

